

**Zeitschrift:** Mitteilungen der Naturforschenden Gesellschaft Bern

**Herausgeber:** Naturforschende Gesellschaft Bern

**Band:** - (1933)

**Artikel:** Geologie der Sattelzone bei Adelboden

**Autor:** Huber, Kurt

**Kapitel:** Tafel I

**DOI:** <https://doi.org/10.5169/seals-319370>

### Nutzungsbedingungen

Die ETH-Bibliothek ist die Anbieterin der digitalisierten Zeitschriften auf E-Periodica. Sie besitzt keine Urheberrechte an den Zeitschriften und ist nicht verantwortlich für deren Inhalte. Die Rechte liegen in der Regel bei den Herausgebern beziehungsweise den externen Rechteinhabern. Das Veröffentlichen von Bildern in Print- und Online-Publikationen sowie auf Social Media-Kanälen oder Webseiten ist nur mit vorheriger Genehmigung der Rechteinhaber erlaubt. [Mehr erfahren](#)

### Conditions d'utilisation

L'ETH Library est le fournisseur des revues numérisées. Elle ne détient aucun droit d'auteur sur les revues et n'est pas responsable de leur contenu. En règle générale, les droits sont détenus par les éditeurs ou les détenteurs de droits externes. La reproduction d'images dans des publications imprimées ou en ligne ainsi que sur des canaux de médias sociaux ou des sites web n'est autorisée qu'avec l'accord préalable des détenteurs des droits. [En savoir plus](#)

### Terms of use

The ETH Library is the provider of the digitised journals. It does not own any copyrights to the journals and is not responsible for their content. The rights usually lie with the publishers or the external rights holders. Publishing images in print and online publications, as well as on social media channels or websites, is only permitted with the prior consent of the rights holders. [Find out more](#)

**Download PDF:** 11.02.2026

**ETH-Bibliothek Zürich, E-Periodica, <https://www.e-periodica.ch>**

Schichten der Niesenbasis lagen, um so mehr erlitten sie Differentialbewegungen, Verschiebungen eines Teilchens gegen das benachbarte. Dadurch erklären sich ihre stärkeren Umsetzungen.

McCONNEL und DE RAAF (82) fanden, dass „schistes brillants“ alle stratigraphischen Stufen der tieferen Niesenschuppen kennzeichnen. Es erscheint mir wohl möglich, dass das „brillant“, der Glanz, eine Folge tektonischer Wirkungen bildet.

Die drei genannten, aufeinanderfolgenden Phasen bedingen aber die Struktur der Sattelzone noch viel tiefgreifender. Die Doppelung des Komplexes IV wurde bereits beschrieben, ebenso die Verbindung seines tieferen mit dem höheren Lappen. Weiterhin bestehen, wie gezeigt, Beziehungen zwischen den Schuppen I und VII, II und VIII. Ferner mussten die Wangschichten, die im Anriss des Hangilaubs den Dogger durchstossen, als nordwestwärts verschleppte Umhüllung der Hochwangantiklinale gedeutet werden. Von hier aus auf das Ganze zu schliessen, ist kein grosser Schritt:

Phase 1. und 2. erzeugten Hüllen ultrahelvetischer Schichten um die Falten der Wildhorndecke. Die Ueberschiebung der Niesendecke (3.) schürfte die ultrahelvetischen Schichten von den ausgesetzteren Stellen des Helvetikums ab. Die Doppelung der Sattelzoneschuppen werden nun leicht verständlich.

Diese Reihenfolge der Deckenbewegung stimmt überein mit Schlüssen McCONNELS und DE RAFFS, die ebenfalls der Niesendecke die letzte aktive Bewegung zuerteilen.

### Tafel I.

Zu den Schliffen der Lithothamnion-Discocyclinenbreccie:

1. *Uhligina* sp. (*Eorupertia*) Schalmigrat-N.
2. *Heterostegina* sp., schiefer Aequatorialschnitt und dezentrischer Axialschnitt. Ein Lithothamnienbruchstück dringt in die Schale der Heterostegina ein. Metschstand.
3. *Gypsina inhaerens* Schultze. Schalmigrat-N.
- 4 und 6. Zwergformen von *Nummulites* und *Assilina*. Pommerngrat.
5. Glaucoalcit (schraffiert = übriggebliebene Glauconitsupstanz).

Zu den Schliffen des Schlierensandsteins:

7. Zwergform eines Nummuliten. Ludnungseggen.

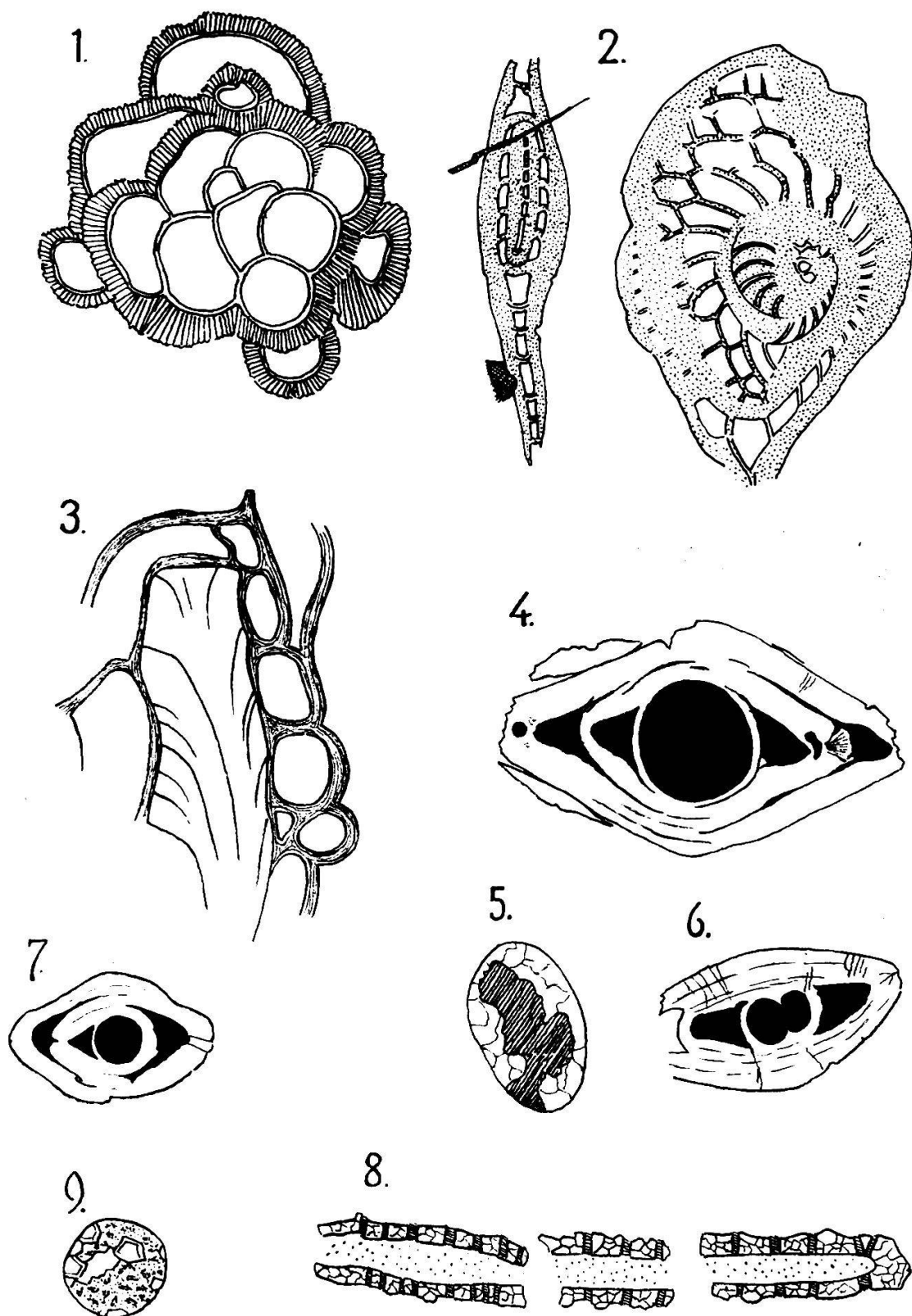
Zum Schliff senone Mergel:

8. Problematische arenazische Röhre (s. Text). Metschstand, Westseite.

Zu den Schliffen der Oolithe des Fluhbandes in der Metschhornwestwand:

9. Verquarztes Ooid. Metschhorn.

## Tafel I



Massstäbe Fig. 1, 3:  
2, 4-9:

0,1 mm.  
2 mm.